ISSN: 2476-6909; Modares Mechanical Engineering. Proceedings of 2nd Iranian National Conference on Advanced Machining and Machine Tools (CAMMT).2022;22(10):53-58.

Investigation on the Effect of Geometric Parameters on the Capability of Dimensional Measuring Tools for Machined Workpiece Using MSA Technique

ARTICLEINFO

Authors
Asadi N.[1]
Soleimanimehr. H[1*]
Rastegarfar. M[2]

[1] Department of Mechanics, Electrical Power and Computer, Science and Research Branch, Islamic Azad University, Tehran, Iran.
[2] Ikco, Tehran, Iran.

***Correspondence**
Address: Department of Mechanics, Electrical Power and Computer, Science and Research Branch, Islamic Azad University, Tehran, Iran.
soleimanimehr@srbiau.ac.ir

How to cite this article
Asadi N, Soleimanimehr H, Rastegarfar M. Investigation on the Effect of Geometric Parameters on the Capability of Dimensional Measuring Tools for Machined Workpiece Using MSA Technique. Modares Mechanical Engineering. Proceedings of 2nd Iranian National Conference on Advanced Machining and Machine Tools. 2022; 22(10):53-58.

ABSTRACT

The non-reproducibility of the measured results of a piece by reference laboratories is a problem that often causes differences of opinion in production workshops and doubts about the adjustment of production devices with the results provided by laboratories. In this paper, the effect of geometric parameters created by machining on the ability to measure control tools through statistical techniques of quality engineering is investigated, so that first a piece was subjected to drilling and machining, after measurements The exact diameter of the hole with geometric deviation was determined to be cylindrical error to 0.01 mm. Then it was examined with two common measuring systems of air gauge and coordinate measuring machine (CMM) and the capability of the instruments was calculated as follows through the mini-tab software. Capability of air gauge (Cg) in measuring the diameter of hole was 0.27 and capability of CMM device in controlling the said diameter was 0.28. After removing the scattering caused by geometric parameters to calculate the ability of measuring instruments, The power of the instruments was improved to 1.20 in the wind gauge and 1.05 in the CMM and finally, by removing or reducing the geometrical error of the work piece, the repeatability (VARIATION) and the ability of both measurement systems are improved to many times.

Keywords Capability of Dimensional, Geometric Dimention, Machining, MSA Technique

ماهنامه علمی مهندسی مکانیک مدرس، ویژه‌نامه مجموعه مقالات دومین کنفرانس ملی ماشین‌کاری و ماشین‌های ابزار پیشرفته.
مهر ۱۴۰۱، دوره ۲۲، شماره ۱۰، صفحه ۵۳-۵۸.

بررسی تاثیر پارامترهای هندسی بر قابلیت ابزار اندازه گیری ابعادی قطعات ماشینکاری شده با استفاده از روش تحلیل سیستم اندازه گیری

مشخصات مقاله

نویسنده‌ها
نیما اسدی[۱]
حمید سلیمانی مهر[۱]*
محمد رستگارفر[۲]

[۱] دانشکده مهندسی مکانیک، برق و کامپیوتر، واحد علوم و تحقیقات، دانشگاه آزاد اسلامی، تهران، ایران
[۲] شرکت صنعتی ایران خودرو، تهران، ایران

* نویسنده مسئول
آدرس: دانشکده مهندسی مکانیک، برق و کامپیوتر، واحد علوم و تحقیقات، دانشگاه آزاد اسلامی، تهران، ایران
soleimanimehr@srbiau.ac.ir

چکیده

عدم تکرار پذیری نتایج اندازه گیری شده یک قطعه توسط آزمایشگاه‌های مرجع مشکلی است که اکثرا در کارگاههای تولیدی باعث ایجاد اختلاف نظر و شک و شبهه در تنظیم دستگاههای تولیدی با نتایج ارائه شده توسط آزمایشگاهها می گردد. در این مقاله به بررسی تاثیر پارامترهای هندسی ایجاد شده در اثر ماشینکاری بر توانایی اندازه گیری ابزارهای کنترلی از طریق تکنیک های آماری مهندسی کیفیت پرداخته می شود، بدین صورت که ابتدا قطعاتی تحت فرآیند سوراخکاری و داخل تراشی قرار گرفتند، پس از اندازه گیری های دقیق قطر سوراخ دارای انحراف هندسی با عنوان استوانه ای بودن برابر ۰/۰۱ میلیمتر بدست آمد. سپس با دو سیستم اندازه گیری متداول گیج بادی (AIR GAUGE) و دستگاه اندازه گیری مختصات (C.M.M) تحت بررسی قرار گرفت و توانایی ابزارهای اندازه گیری از طریق نرم افزار مینی تب محاسبه شد. قابلیت گیج بادی (Cg) در کنترل قطر سوراخ ماشینکاری شده برابر ۰/۲۷ و قابلیت دستگاه C.M.M در کنترل قطر مذکور برابر ۰/۲۸ است. پس از حذف پراکندگی ناشی از پارامترهای هندسی جهت محاسبه توانایی ابزارهای اندازه گیری، میزان توانایی ابزارها تا ۱/۲۰ در گیج بادی و ۱/۰۵ در دستگاه C.M.M بهبود یافتند و در انتها با حذف یا کاهش خطای هندسی قطعه کار میزان تکرار پذیری (VARIATION) و قابلیت هر دو سیستم اندازه گیری تا حد چند برابر ارتقاء پیدا کرد.

کلیدواژه‌ها قابلیت اندازه گیری، تلرانس هندسی، ماشینکاری، روش تحلیل سیستم اندازه‌گیری

[Downloaded from mme.modares.ac.ir on 2024-05-10]

[DOR: 20.1001.1.10275940.1401.22.10.10.3]

۱- مقدمه

زمانی که صحبت از تولید قطعات با تیراژ بالا جهت مونتاژ و بهره برداری در صنایع می گردد، اهمیت کیفیت ماشینکاری و ساخت قطعات مشخص میشود. در این میان تولید قطعات با دقت های ابعادی و هندسی بالا از اهمیت خاصی برخوردار می باشد و به تبع آن کنترل و اندازه گیری این پارامترها و تاثیر آنها برعملکرد صحیح قطعه کار از اهمیت خاصی برخوردار است. امروزه در صنعت، کنترل این ویژگیها با روش لمسی قلم پراب از طریق دستگاه اندازه‌گیری مختصات سه بعدی (CMM) انجام می شود. در این راستا ابتدا به بیان تاریخچه تلرانسهای هندسی پرداخته میشود. اولین با در سال ۱۹۴۵ تلرانس های موقعیت مطرح گردید، در سال ۱۹۵۶ استاندارد ASA Y 14.5 در کشور آمریکا منتشر شد که طی مراحل مختلف در سال ۱۹۸۲ استاندارد مذکور توسط ANSI تجدیدنظر شد و در سال ۱۹۹۴ از ANSI به ASME تغییر نام داد.

لازم به ذکر است اگر فرآیندهای تولید مدرن به طور پیوسته به دقت فزآینده ای دست پیدا کنند، عدم دقت در ساخت منجر به خطاهای هندسی اجتناب ناپذیری می‌شود که تاثیر زیادی بر کیفیت مونتاژ عملکرد جامع سیستم مکانیکی دارد. بنابراین نیاز به کنترل تلرانس های هندسی مطابق آنچه که دراستاندارد ASME نشان داده شده است، می باشد[1] . در مقاله ای در سال ۱۹۹۶ [2] به بررسی مشخصات هندسی محصول GPS نسبت به خطاهای ابعادی و هندسی با استفاده از رویکرد حداقل مربعات یکپارچه پرداخته شد، که برای کلیه ویژگیهای هندسی کاربرد دارد. در این روش طی یك الگوریتم، مختصات اندازه گیری شده را به نحوی شبیه سازی و تبدیل می کنند که بیشترین تناسب به هندسه اسمی را داشته باشد[3] .

در مقاله دیگری در سال ۲۰۰۲ به تعیین نقاط اندازه گیری بر پایه تلرانسهای فرم پرداخته شد که در این تحقیق تعداد نقاط کافی برای اندازه گیری به کمك رایانه و دستگاه اندازه گیری مختصات سه بعدی (CMM) پرداخته شد [4] .

در مقاله ای در سال ۲۰۰۸ به جبران خطاهای هندسی در بازوهای اندازه گیری پرداخته شده، که از طریق رویکرد مبتنی بر ساختار سینماتیکی با ۶ درجه آزادی بهره برده شده، در این راستا از الگوی حداقل مربعات برای تخمین پارامترهای سینماتیك استفاده شده است[5] .

در سال ۲۰۱۱ با بررسی تاثیر نیروهای برشکاری روی قطعه کار که عامل ایجاد خطاهای قطری در ماشینکاری آلتراسونیك می گردد ، تغییر شکل قطعه کار در طول فرآیند تراش ایجاد می شود و به طبع آن اثر گذاری اجزای نیروی برش بر خطای قطری پرداخته شده و بیشترین این خطاها در جهت شعاع برآورد شده است [6].

در سال ۲۰۱۶ به شناسایی و جبران خطاهای هندسی ماشین ابزارهای CNC با پنج محور با استفاده از میله دوبل از طریق تحلیل خطاهای محورهای چرخشی پرداخته شد. در نهایت یك مدل ریاضی برای شناسایی خطاها حاصل گردید[7] .

در سال ۲۰۱۸ به بررسی پارامترهای هندسی شامل موقعیت ها و تعامدها برای دقت ماشینکاری در ماشینهای ابزار ۵ محوره پرداخته شد و با رفع خطاهای حاصله در اثر موقعیت و تعامد ماشینها دقت ماشینکاری ۲/۸۴ % افزایش یافت[8] .

در سال ۲۰۱۸ به بررسی روشی جدید برای مدل سازی خطاهای هندسی در راستای مونتاژ دقیق پرداخته شد. با این روش به پیش بینی اثرات خطاهای هندسی بر کیفیت مونتاژ دست یافتند، بصورتی که با بررسی سطوح به این نتیجه دست یافتند که حتی خطاهای فرم بسیار کوچك می توانند باعث تماسهای غیریکنواخت در هنگام مونتاژ گردند و با میانگین گیری تعدادی از مدل های سطحی به میزان خطای هندسی دست یافتند که در نهایت با ادغام نتایج به ایجاد مدل ریاضی در سیستم های طراحی کامپیوتری دست یافتند[9] .

در سال ۲۰۲۰ به بررسی و مقایسه اندازه گیری سه بعدی بین روشهای استفاده از اسکنر سه بعدی و ماشین اندازه گیری مختصات پرداخته شد که منجر به بیان تفاوت های دو روش و مزایا و معایب آنها و شرایط و کاربرد دو دستگاه گردید[10] .

در سال ۲۰۲۰ به بررسی و تحلیل ارتعاش جدیدی پرداخته شد که در آن اثرات حاصل از ارتعاشات تراشکاری آلتراسونیك بر روی خطاهای قطری قطعه کار نمایش داده می شد ، در بخشی از آن مقاله تغییر شکل قطعه کار منعطف تحت بررسی قرار گرفت و به نتیجه بالا بودن خطاهای قطری قطعه کار در تراشکاری معمولی نسبت به ارتعاشی دست یافتند[11] .

همانگونه که مشاهده می شود طی زمانهای مختلف به بررسی تاثیرات خطاهای هندسی و تلاش در جهت رفع آنها پرداخته شده است . به کرات در صنایع مختلف مغایرتهایی در سیستم های اندازه گیری مشاهده شده است به نحوی که با اندازه گیری مجدد قطعه کار تغییراتی در نتایج اندازه گیری حاصل شده، در این مقاله به بررسی تاثیر خطاهای هندسی بر روی اندازه گیری های ابعادی قطرسوراخ قطعه کار توسط دو دستگاه گیج بادی (AIR GAUGE) و دستگاه اندازه گیری موقعیت سه بعدی (CMM) از طریق بررسی توانمندی دستگاه ها در حالات مختلف با بهره گیری از تکنیك MSA پرداخته شده است، با در نظر گرفتن قطعه کار ماشینکاری شده بعنوان مبنا که توسط دستگاه CNC تراشکاری شده و قطری برابر ۵۱/۹۰۸ میلیمتر با محدوده مجاز ابعادی برابر ۰/۰۳+ میلیمتر حاصل گردیده است، این قطعه کار با خطای هندسی استوانه ای بودن ۰/۰۱ میلیمتر ایجاد گردیده است.

[Downloaded from mme.modares.ac.ir on 2024-05-10]

[DOR: 20.1001.1.10275940.1401.22.10.10.3]

۲- روش‌ها و تئوری موضوع

منشا و علل خطاهای اندازه گیری فقط منحصر به وسایل و ابزارهای اندازه گیری نمی باشد بلکه عوامل بسیار زیادی از فرآیندهای تولید و حتی تجهیزات تست در این سیستم تاثیر گذار می باشد، در هنگام اندازه گیری خروجی فرآیندها، همیشه پراکندگی مشاهده می شود، این پراکندگی ناشی از دو منبع زیر است:

– فرآیند تولید: بخاطر وجود تغییرات فرآیند تولید ، اندازه های قطعات تولید شده با هم متفاوت است.

– سیستم اندازه گیری: روش های مختلف اندازه گیری و نقص هایی که در سیستم های اندازه گیری وجود دارد باعث می شود در اندازه گیری های مکرر یک قطعه ، نتایج یکسانی به دست نیاید. به طور کلی، رابطه بین این پراکندگی ها به صورت زیر قابل بیان است : کل پراکندگی سیستم حاصل مجموع مشخصه پراکندگی ناشی از فرآیند تولید با پراکندگی حاصل از سیستم اندازه گیری می باشد .

از آنجا که اندازه گیری های انجام شده ملاک رد یا قبول محصول خروجی می باشد، هر قدر میزان پراکندگی ناشی از سیستم اندازه گیری کمتر باشد، پراکندگی مشاهده شده به پراکندگی واقعی فرآیند تولید نزدیک تر است و با اطمینان بیشتری می توان در مورد محصول نظر داد. بنابراین باید توجه داشت قبل از اقدام به هر کاری که درآن از نتایج اندازه گیری استفاده می شود، ابتدا باید مطمئن شد قسمت اعظم پراکندگی مشاهده شده، ناشی از سیستم اندازه گیری نیست. مشخصه هایی که در سیستم های اندازه گیری قطعات بررسی می شوند، عموما به دو دسته: مشخصه های کمی و مشخصه های وصفی تقسیم می شوند، در مورد مشخصه های کمی، خروجی سیستم اندازه گیری بصورت یك عدد بیان می شود، اما در مشخصه های وصفی خروجی فرآیند اندازه گیری بصورت (رد / قبول) قطعه است.

پارامترهایی که در مبحث تجزیه و تحلیل سیستم های اندازه گیری کمی در این تحقیق مورد استفاده قرار میگیرد عبارتند از: تمایل، توانایی ابزارهای اندازه گیری C_g و C_{gk} که با افزایش میزان توانایی بالاتر می رود، تکرار پذیری یا تغییرات (VARIATION) که بر حسب درصد بیان می گردد و هر چه کمتر باشد بهتر و قابلیت بالاتر را دارا می باشد . این شاخص ها معمولا برای کنترل صحت و تصدیق ابزارهای کنترلی یا روش های اندازه گیری بکار می رود.

تمایل: عبارت است از تفاوت بین میانگین ارقام جمع آوری شده و ارزش واقعی آنچه که اندازه گیری می شود. برای تعیین میزان تمایل سیستم اندازه گیری، قطعه ای را بعنوان مبنا انتخاب کرده و با انجام اندازه گیری های مکرر و مقایسه میانگین نتایج به دست آمده با اندازه اسمی قطعه مبنا، مقدار تمایل را بدست می آورند. مراحل کار بصورت زیر است:

– قطعه ای که اندازه یکی از مشخصه های آن را به طور دقیق اندازه گیری شده به عنوان (مبنا) انتخاب می شود، در صورتی که اندازه مشخصه مورد نظر را مشخص نباشد، با استفاده از یك ابزار اندازه گیری دقیق، قطعه را چند بار اندازه گیری کرده، از میانگین اندازه های بدست آمده به عنوان عدد مشخصه مبنا استفاده می شود (X_R).

– قطعه مورد نظر توسط ارزیاب ماهر ۱۰ مرتبه متوالی اندازه گیری می شود و نتایج حاصله ثبت می گردد.

۳ – میانگین ۱۰ اندازه حاصله را بدست آورده، اندازه مبنا از آن کسر می گردد، مقدار حاصله نشان دهنده تمایل سیستم اندازه گیری است [12].

$X=\sum_{i=1}^{n}\frac{X_i}{n}$:میانگین اندازه های به دست آمده (۱)

$X - X_R$ =تمایل (۲)

مراحل محاسبه شاخص توانایی ابزار اندازه گیری برای بدست آوردن این پارامتر باید :

۱ – ابتدا یك قطعه مرجع انتخاب شود، نباید این قطعه در طی ارزیابی تغییر کند.

۲ – بهتر است قطعه مرجع ۵۰ بار و در صورت عدم امکان ۲۵ بار اندازه گیری شود.

۳ – نتایج را ثبت و سپس نمودار روند را برای تایید تصادفی بودن مشاهدات رسم شود.

۴ – مقادیر X_g و S_g برای اندازه ها محاسبه میشود.

$$X_g = \frac{1}{n}\sum_{i=1}^{n} X_i \quad (۳)$$

$$S_g = \sqrt{\frac{\sum_{i=1}^{n}(Xi - Xg)^2}{n-1}} \quad (۴)$$

در روابط فوق X_g و S_g به ترتیب نماینده میانگین و انحراف استاندارد اندازه های مشاهده شده با استفاده از ابزارهای اندازه گیری هستند.

مقادیر $X_g - X_m$ را که در واقع نمایش دهنده تمایل ابزار می باشد محاسبه شود.

شاخص های توانایی ابزار Cg و Cgk با استفاده از فرمول‌های شماره ۵ و ۶ محاسبه شود.

$$C_g = \frac{0.2}{6S_g} \quad (۵)$$

$$C_{gk} = \frac{0.1T - |X_g - X_m|}{3S_g} \quad (۶)$$

۳- نتایج و بحث

پس از اطمینان از کالیبره بودن دستگاه‌ها توسط آزمایشگاه مرجع، نسبت به بررسی وضعیت تکرار پذیری دستگاهها اقدامات لازم انجام گردید و پس از آن بوسیله قطعه کاری که توضیح داد شده، اندازه گیری و داده برداری انجام شد.

[Downloaded from mme.modares.ac.ir on 2024-05-10]

[DOR: 20.1001.1.10275940.1401.22.10.10.3]

لازم به ذکر است این تست توسط دو دستگاه اندازه گیری رایج به نامهای ماشین اندازه گیری موقعیت سه بعدی (CMM) و گیج قطرسنج بادی (Air Gauge) انجام شده است، نمونه ای از تصاویر این ابزارها در شکل شماره ۱ و شکل شماره ۲ نمایش داده شده است.

شکل ۱) نمایی از ماشین اندازه گیری موقعیت سه بعدی (CMM)

شکل ۲) نمایی از گیج کنترل قطر بادی (Air gauge)

نتایج اندازه گیری قطر سوراخ ماشینکاری شده در قطعه کار با گیج بادی و ماشین اندازه گیری سه بعدی بصورت نمودارهایی در شکل شماره ۳ و شکل شماره ۴ اندازه گیری گردید.

پس از انجام محاسبات لازم که توسط نرم افزار مینی تب انجام پذیرفت، نتایج بصورت جدول شماره ۱ مشاهده گردید.

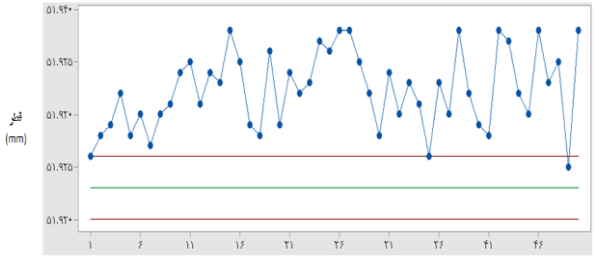

شکل ۳) تغییرات قطر خوانده شده در ۵۰ حالت مختلف توسط گیج بادی

همانگونه که در جدول ۱ دیده می شود در این حالت قابلیت ماشین برابر ۰/۲۷ محاسبه شده است، در شکل ۱ مقدار انحراف نمودار از میانه حد مجاز قطعه رویت می گردد که با تنظیم دستگاه می توان این قطر را به میانه رنج قابل قبول قطعه رساند. این مقدار انحراف در عدد قابلیت ماشین با در نظر گرفتن تمایل (C_{gk}) نیز قابل رویت می باشد.

جدول ۱) نتایج محاسبات نرم افزار مینی تب برای ایرگیج

اطلاعات اولیه	تمایل (Bias)	قابلیت ماشین
عدد مرجع ۵۱/۹۲۳(mm)	میزان تمایل ۰/۰۰۹	قابلیت ماشین بدون در نظر گرفتن تمایل (Cg) ۰/۲۷
میانگین داده‌ها ۵۱/۹۳۲		قابلیت ماشین با در نظر گرفتن تمایل (Cgk) -۰/۵۷
تلرانس کاری ۰/۰۳(mm)		تکرار پذیری ۷۴/۰۰ %

بار دیگر آزمایش اندازه گیری قطعه با دستگاه اندازه گیری موقعیت سه بعدی (CMM) انجام پذیرفت نتایج مطابق نمودار شکل ۴ ترسیم گردید.

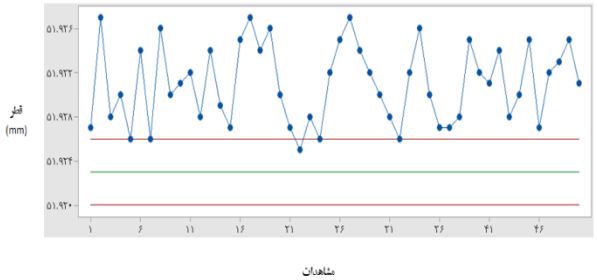

شکل ۴) تغییرات قطر خوانده شده در ۵۰ حالت مختلف توسط دستگاه اندازه گیری موقعیت سه بعدی

پس از انجام محاسبات لازم توسط نرم افزار مینی تب انجام، نتایج بصورت جدول شماره ۲ می‌باشد.

همانگونه که در جدول ۲ دیده می شود در این حالت قابلیت ماشین برابر ۰/۲۸ محاسبه شده است ، در شکل ۲ مقدار انحراف نمودار از میانه حد مجاز قطعه رویت می گردد که با تنظیم دستگاه می توان این قطر را به میانه رنج قابل قبول قطعه رساند. این مقدار انحراف در عدد قابلیت ماشین با در نظر گرفتن تمایل نیز قابل رویت می باشد. لازم به ذکر است در هر دو حالت (استفاده از ابزار کنترل قطر بادی و دستگاه کنترل موقعیت سه بعدی) میزان قابلیت با اختلاف کمی محاسبه و استخراج گردیده و قابلیت بسیار پایین یا از نگاهی دیگرعدم قابلیت ماشین به وضوح قابل رویت می باشد.

جدول ۲) نتایج محاسبات نرم افزارمینی تب برای دستگاه اندازه گیری موقعیت سه بعدی

اطلاعات اولیه	تمایل (Bias)	قابلیت ماشین
عدد مرجع ۵۱/۹۲۳(mm)	میزان تمایل ۰/۰۰۸	قابلیت ماشین بدون در نظر گرفتن تمایل (Cg) ۰/۲۸
میانگین داده ها ۵۱/۹۳۱		قابلیت ماشین با در نظر گرفتن تمایل (Cgk) -۰/۴۷
تلرانس کاری ۰/۰۳(mm)		تکرار پذیری ۷۰/۸۰٪

[Downloaded from mme.modares.ac.ir on 2024-05-10]
[DOR: 20.1001.1.10275940.1401.22.10.10.3]

حال جهت تکمیل بررسی تلاش می شود با حذف خطای استوانه ای بودن مجدد این بررسی ها و قابلیت دو روش محاسبه گردد، در گیج بادی با عدم چرخش گیج داخل قطعه کار و اندازه گیری در یك راستا این اقدام صورت می گیرد، در دستگاه اندازه گیری موقعیت از طریق بهره برداری از یك رینگ مرجع به قطر ۵۰ میلیمتر که خطای ابعادی حدود ۰/۰۰۱ میکرومتر را دارا می باشد انجام شد.

با حذف این خطای هندسی در گیج بادی نتایج حاصله به شرح شکل شماره ۵ حاصل شد:

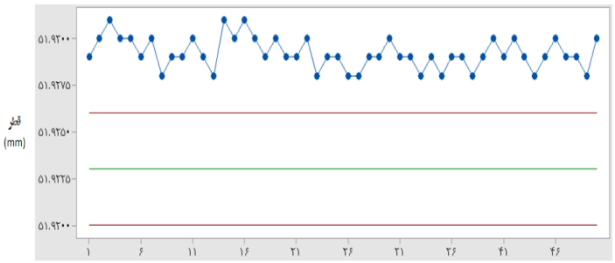

شکل ۵) تغییرات قطر خوانده شده در ۵۰ حالت مختلف توسط گیج بادی پس از حذف پارامتر هندسی استوانه‌ای بودن

سپس با انجام محاسبات لازم توسط نرم افزار مینی تب ، نتایج بصورت جدول شماره ۳ ارائه میگردد.

همانگونه که مشاهده می‌شود اختلاف زیادی بین دو پارامتر محاسبه شده قابلیت ماشین با در نظر گرفتن تمایل و قابلیت ماشین بدون در نظر گرفتن تمایل وجود دارد در راستای بررسی و رفع این موضوع نسبت به حذف تمایل در نرم افزار مینی تب انجام شد، بدین صورت که میزان عدد مرجع در نرم افزار مطابق میانگین داده ها وارد شد، و نتایج بصورت نمودار ترسیم شده در شکل شماره ۶ قابل رویت گردید.

با انجام محاسبات لازم توسط نرم افزار نتایج بصورت جدول شماره ۴ نمایش داده می شود.

همانگونه که در جدول شماره ۴ مشاهده می شود، با یکسان قراردادن عدد مرجع و میانگین داده ها یا به نوعی حذف تمایل قابلیت ماشین در هر دو حالت یکسان می گردد، و عدد این قابلیت در هر دو حالت ۱/۲۰ خواهد بود که نسبت به حالت قبل از حذف خطای هندسی تغییر چشمگیری می باشد. این تغییر نمایانگر میزان خطای این ابزار در اثر پارامترهای هندسی قطعه ماشینکاری می باشد.

جدول ۳) نتایج محاسبات نرم افزار مینی تب برای گیج بادی پس از حذف پارامتر هندسی

اطلاعات اولیه	تمایل (Bias)	قابلیت ماشین
عدد مرجع ۵۱/۹۲۳(mm)	میزان تمایل ۰/۰۰۶	قابلیت ماشین بدون در نظر گرفتن تمایل (Cg) ۱/۲۰
میانگین داده ها ۵۱/۹۲۹		قابلیت ماشین با در نظر گرفتن تمایل (Cgk) -۱/۲۸
تلرانس کاری ۰/۰۳(mm)		تکرار پذیری ۱۶/۶۶ %

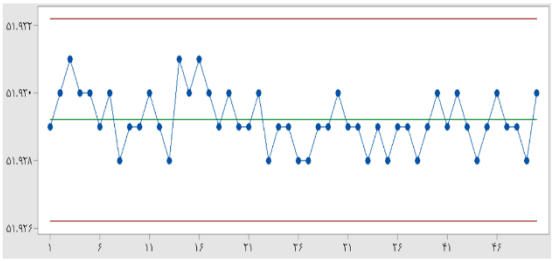

شکل ۶) تغییرات قطر خوانده شده در ۵۰ حالت مختلف توسط گیج بادی پس از حذف پارامتر هندسی استوانه ای بودن و یکسان نمودن عدد مرجع با میانگین داده‌ها

جدول ۴) نتایج محاسبات نرم افزار مینی تب برای گیج بادی پس از حذف پارامتر هندسی

اطلاعات اولیه	تمایل (Bias)	قابلیت ماشین
عدد مرجع ۵۱/۹۲۹(mm)	میزان تمایل ۰/۰۰۰	قابلیت ماشین بدون در نظر گرفتن تمایل (Cg) ۱/۲۰
میانگین داده ها ۵۱/۹۲۹		قابلیت ماشین با در نظر گرفتن تمایل (Cgk) ۱/۲۰
تلرانس کاری ۰/۰۳(mm)		تکرار پذیری ۱۶/۶۶ %

حال این فعالیت برای دستگاه کنترل ابعادی انجام می پذیرد، با توجه به نقطه برداری توسط دستگاه کنترل ابعادی امکان انجام بر روی قطعه کار وجود نداشت ولی جهت کنترل توانایی ماشین توسط رینگ مرجع با قطر ۵۰ میلیمتر مورد تست قرار گرفت. نتایج این نمونه برداری که با حذف پارامتر هندسی انجام شده، در نمودار ترسیم شده در شکل شماره ۷ نمایش داده شده است.

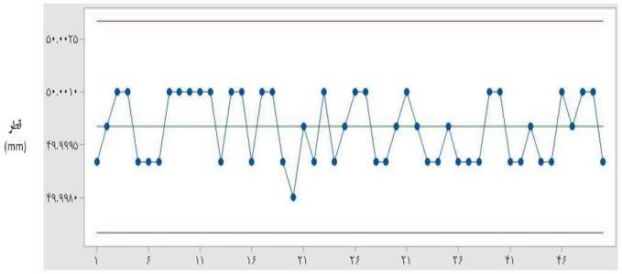

شکل ۷) تغییرات قطر خوانده شده در ۵۰ حالت مختلف توسط دستگاه کنترل ابعادی سه بعدی پس از حذف پارامتر هندسی استوانه ای بودن

پس از انجام محاسبات توسط نرم افزار مینی تب نتایج بصورت جدول شماره ۵ حاصل گردید.

جدول ۵) نتایج محاسبات نرم افزار مینی تب برای دستگاه کنترل ابعادی پس از حذف پارامتر هندسی

اطلاعات اولیه	تمایل (Bias)	قابلیت ماشین
عدد مرجع ۵۰(mm)	میزان تمایل -۰/۰۰۰۱	قابلیت ماشین بدون در نظر گرفتن تمایل (Cg) ۱/۰۵
میانگین داده ها ۴۹/۹۹۹۹		قابلیت ماشین با در نظر گرفتن تمایل (Cgk) ۱/۰۲
تلرانس کاری ۰/۰۳(mm)		تکرار پذیری ۱۹/۱۳٪

[Downloaded from mme.modares.ac.ir on 2024-05-10]

[DOR: 20.1001.1.10275940.1401.22.10.10.3]

همانگونه که در جدول رویت می گردد، میزان قابلیت ماشین ۱٫۰۵ محاسبه گردید که تفاوت فاحش آن با زمان قبل از حذف پارامتر هندسی بیانگر ایجاد خطا بعلت استوانه ای بودن قطعه کار می باشد.

نتایج ارائه شده در جداول شماره ۳ و ۵ به وضوح تاثیر گذار بودن میزان خطاهای هندسی را بر فرآیند اندازه گیری توسط دو ابزار مذکور که از دقیق ترین ابزارهای اندازه گیری می باشند نمایش می دهد، این بررسی را می توان در تمامی آیتم های مربوطه نیز تعمیم داد که از ذکر ریز مطالب در این مقاله خودداری می گردد.

۴- نتیجه گیری

- بارها مشاهده شده با ارسال یک قطعه کار به آزمایشگاهها جهت کنترل های ابعادی یا هندسی طی چند مرحله، تغییرات نتایج اندازه گیری شده قطعه رویت شده است، در این مقاله تلاش شده با بررسی اندازه گیری قطر سواخکاری شده یک قطعه کار با استفاده از گیج بادی (Air Gauge) و دستگاه اندازه گیری موقعیت سه بعدی (CMM) که از ابزارهای مرسوم جهت کنترل پارامتر قطر سوراخ می باشد و استفاده از یکی تکنیک های مهندسی کیفیت تحت عنوان سیستم بررسی اندازه گیری (MSA) به بررسی علت متغییر بودن نتایج اندازه گیری ها پرداخته شود، پس از انجام آزمایش های مختلف نتایج به شرح زیر حاصل شد:

لازم به ذکر است حذف خطای هندسی در ابزار کنترل قطر بادی از طریق اندازه گیری در یک راستا و در دستگاه اندازه گیری موقعیت هندسی از طریق بهره برداری از یک استوانه مرجع انجام شده است.

- کاهش شدید توانایی ابزارهای اندازه گیری در اثر تلرانسهای هندسی.
- از آنجا که دستگاه های اندازه گیری موقعیت با شبیه سازی مواضع هندسی فعالیت می کنند ، هر چه میزان خطاهای هندسی بیشتر شود ، این شبیه سازی از واقعیت فاصله بیشتری خواهد داشت.
- با حذف پارامتر هندسی در این تحقیق، قابلیت ابزارهای اندازه گیری تا چند برابر افزایش یافت .
- عملکرد هر دو سیستم اندازه گیری گیج بادی و دستگاه اندازه گیری موقعیت در برابر تلرانس هندسی تقریبا یکسان بود و با افزایش خطاهای هندسی میزان خطای اندازه گیری محاسبه شده افزایش یافت.
- با حذف خطای هندسی میزان تکرار پذیری (VARIATION) هر دو سیستم اندازه گیری تا حد چند برابر بهبود پیدا کرد.
- با افزایش تعداد نقطه برداری مواضع در دستگاه CMM موضع شبیه سازی شده به واقعیت نزدیکتر خواهد شد.

تشکر و قدردانی: با تشکر ازکلیه کسانی که در نگارش این مقاله یاری نمودند.

تاییدیه اخلاقی:این قسمت اجباری است و باید نوشته شود.

تعارض منافع:هیچ تضاد منافع احتمالی توسط نویسندگان گزارش نشده است.

منابع مالی: نویسندگان هیچگونه کمک مالی دریافت نکردند.

مراجع

1- ASME (2009) Y14. 5-2009 Dimensioning and tolerancing. ASME, New York .

2- ISO 1101: (2004) Geometrical product specifications (GPS)-geometrical tolerancing-tolerancing of form, orientation, location and run-out.

3- Hing-Tzong Y, Chia-Hsiang M. A unified least-squares approach to the evaluation of geometric errors using discrete measurement data. International Journal of Machine Tools and Manufacture. 1996:11:1269-1290

4- Jiang B C , Chiu S. Form tolerance-based measurement points determination with CMM. Journal of Intelligent Manufacturing. 2002: 13, 101–108.

5- Gatti G, Danieli G. A practical approach to compensate for geometric errors in measuring arms: application to a six-degree-of-freedom kinematic structure. Measurement Science and Technology. 2008 .

6- Soleimanimehr H, Nategh M. J. An Investigation on the Influence of Cutting-Force's Components on the Work-piece Diametrical Error in Ultrasonic-Vibration-Assisted Turning. AIP Conference Proceedings 1315. 2011: 1145.

7- Lasemi A, Xue D, Gu P . Accurate identification and compensation of geometric errors of 5-axis CNC machine tools using double ball bar. Measurement Science and Technology. 2016:27 055004.

8- Chen D, Zhang S, Pan R,Fan J. An identifying method with considering coupling relationship of geometric errors parameters of machine tools. Journal of Manufacturing Processes. 2018: 36, 535-549.

9- Zhongqing Z, Zhijing Z, Xin & Qiushuang Z . A novel modelling method of geometric errors for precision assembly. The International Journal of Advanced Manufacturing Technology. 2018: 94, 1139–1160

10- Stojkic Z, Culjak E, Saravanja L. 3D MEASUREMENT - COMPARISON OF CMM AND 3D SCANNER. 31ST DAAAM INTERNATIONAL SYMPOSIUM ON INTELLIGENT MANUFACTURING AND AUTOMATION. 2020.

11- Soleimanimehr H. Analysis of the cutting ratio and investigating its influence on the workpiece's diametrical error in ultrasonic-vibration assisted turning. Institution of mechanical engineers. 2020.

12- Ahmadi ghomi R, Dastor niko N, Taheri A, Gadiri sani M, Godarzi A. Measuring analysis system(MSA). 2001. (In Persian)

[Downloaded from mme.modares.ac.ir on 2024-05-10]

[DOR: 20.1001.1.10275940.1401.22.10.10.3]